



TECNICHE DI CONTROLLO MULTIVARIABILE

Esempi di applicazioni ingegneristiche

Filtro di Kalman

- ➔ Il **filtro di Kalman** è trova molteplici applicazioni in svariati settori, per citarne alcuni:
 - ➔ Sistemi di controllo,
 - ➔ Computer vision,
 - ➔ Localizzazione e navigazione,
 - ➔ Econometria...
- ➔ Si tratta di uno strumento molto flessibile, utilizzato anche qualora perda le sue caratteristiche teoriche di ottimalità, in particolare:
 - ➔ Può essere utilizzato come algoritmo di **sensor-fusion**,
 - ➔ Può essere utilizzato con dispositivi che funzionano a differenti tempi di campionamento (**multi-rate**),
 - ➔ Può fornire una stima anche in momenti in cui le misure non sono disponibili.

Object tracking con filtro di Kalman

➡ Descrizione applicazione:

Si vuole stimare posizione, velocità e accelerazione di un oggetto movimentato da un nastro trasportatore.

➡ Strumentazione (da laboratorio LiraLab):

- Nastro trasportatore
- Telecamera RGB-D
- Marker Aruco

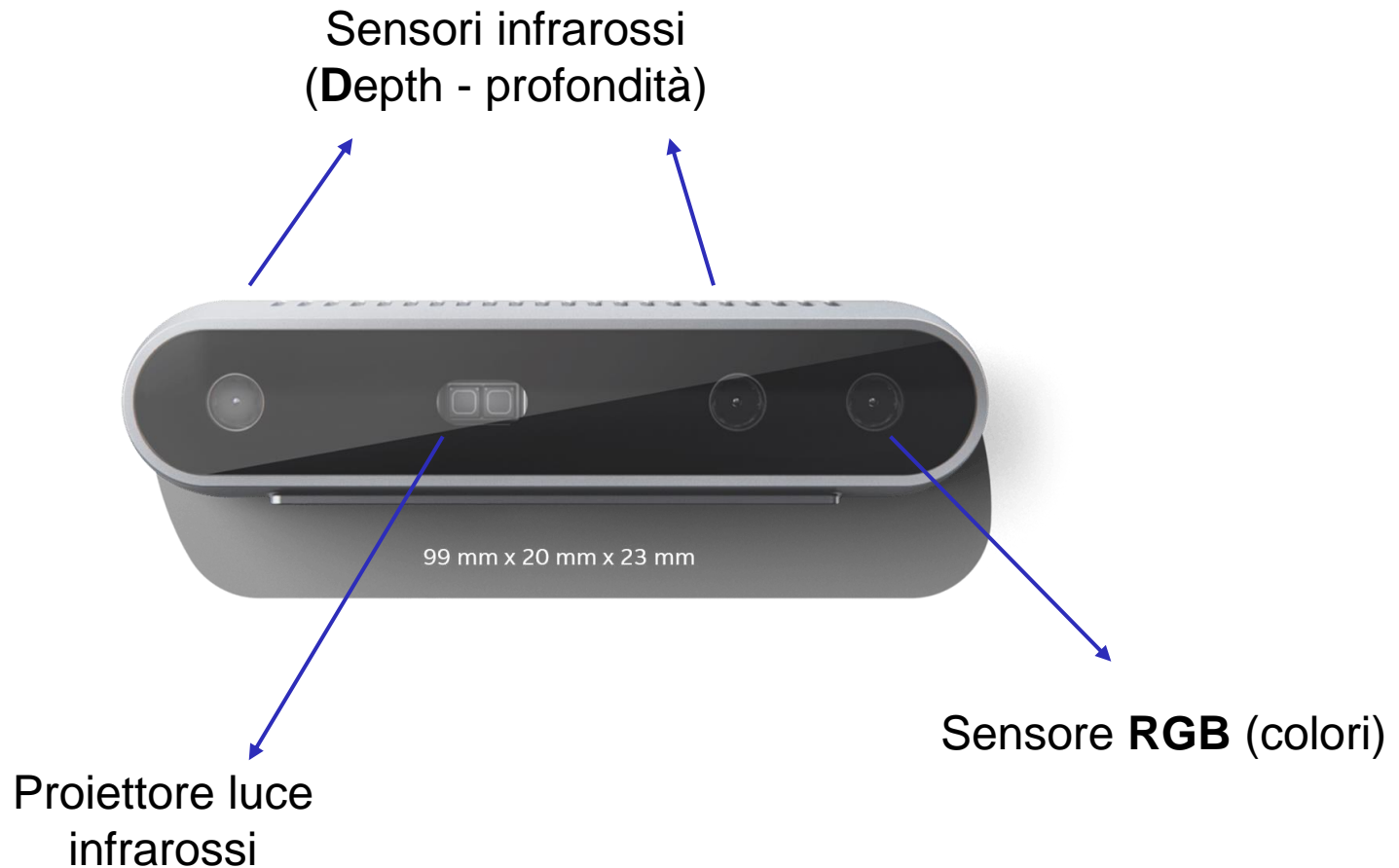
Nastro Trasportatore



- Piccolo nastro trasportatore da laboratorio (1.20 m di lunghezza) movimentato da motore DC 24V

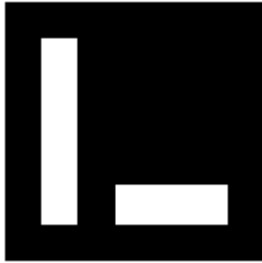
Telecamera RGBD

➔ Intel Realsense D415



Aruco Markers e OpenCV

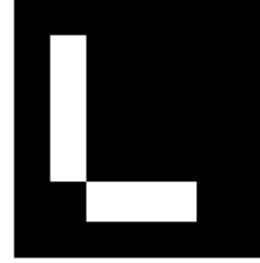
➔ Marker per computer vision:



ID = 1



ID = 2



ID = 3

➔ OpenCV: libreria open source (c++) per computer vision

- Implementa molteplici algoritmi di visione artificiale fra cui il riconoscimento dei marker Aruco



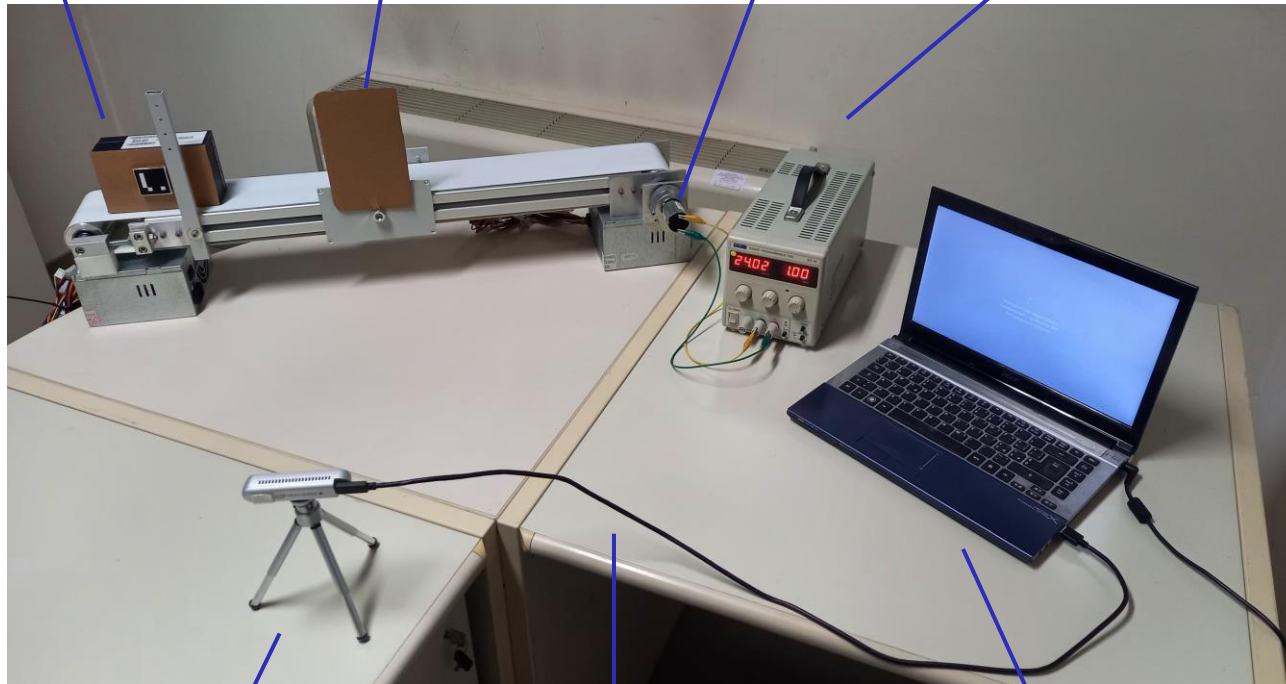
Setup sperimentale

Oggetto con marker

Barriera ottica

Motore DC

Alimentatore 24V



RGBD camera

USB-3 type-c cable

PC con Matlab

Modello del sistema

- ➔ Sistema libero di ordine 9 dove lo stato è dato da posizione, velocità e accelerazione dell'oggetto lungo i tre assi cartesiani x, y, z del sistema di riferimento della telecamera
- ➔ Il modello tempo discreto utilizzato suppone che tra un istante e il successivo l'accelerazione rimanga pressoché costante

$$\mathbf{x} = \begin{bmatrix} p_x \\ v_x \\ a_x \\ p_y \\ v_y \\ \dots \\ a_z \end{bmatrix} \quad \mathbf{x}_k = \begin{bmatrix} 1 & T & \frac{1}{2}T^2 & 0 & \dots & 0 \\ 0 & 1 & T & 0 & \dots & 0 \\ 0 & 0 & 1 & 0 & \dots & 0 \\ \dots & \dots & \dots & \dots & \dots & \dots \\ 0 & 0 & 0 & 0 & \dots & 1 \end{bmatrix} \begin{bmatrix} p_x \\ v_x \\ a_x \\ p_y \\ v_y \\ \dots \\ a_z \end{bmatrix}_{k-1} + \mathbf{w}$$

Modello del sistema

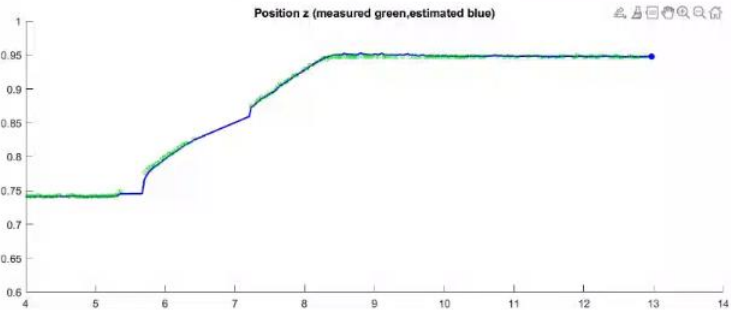
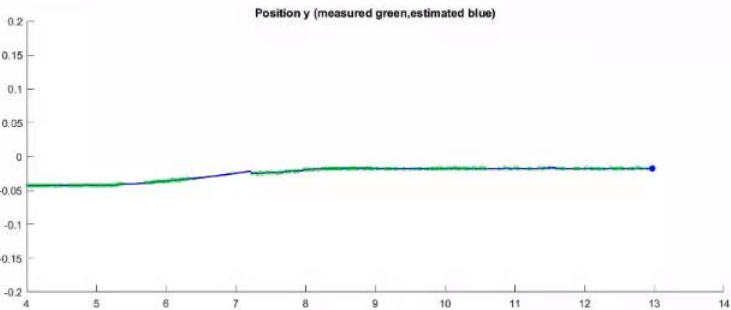
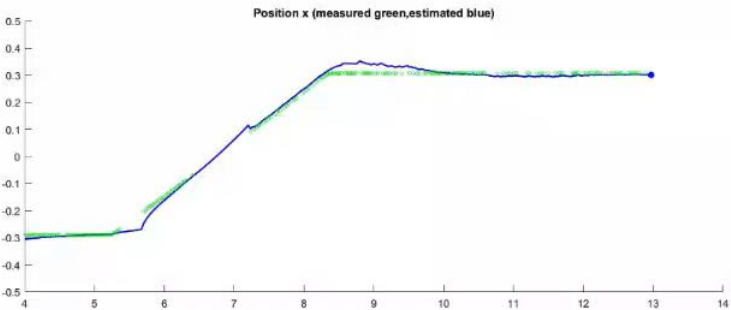
- ➔ Il vettore delle misure coincide con la posizione spaziale dell'oggetto (rappresentata dal pixel identificato come vertice superiore destro del marker Aruco)

$$\mathbf{y} = \begin{bmatrix} p_x \\ p_y \\ p_z \end{bmatrix} = \begin{bmatrix} 1 & 0 & 0 & 0 & \dots & 0 \\ 0 & 0 & 0 & 0 & \dots & 0 \\ 0 & 0 & 0 & 0 & \dots & 0 \\ 0 & 0 & 0 & 1 & \dots & 0 \\ 0 & 0 & 0 & 0 & \dots & 0 \end{bmatrix} \mathbf{x} + \mathbf{v}$$

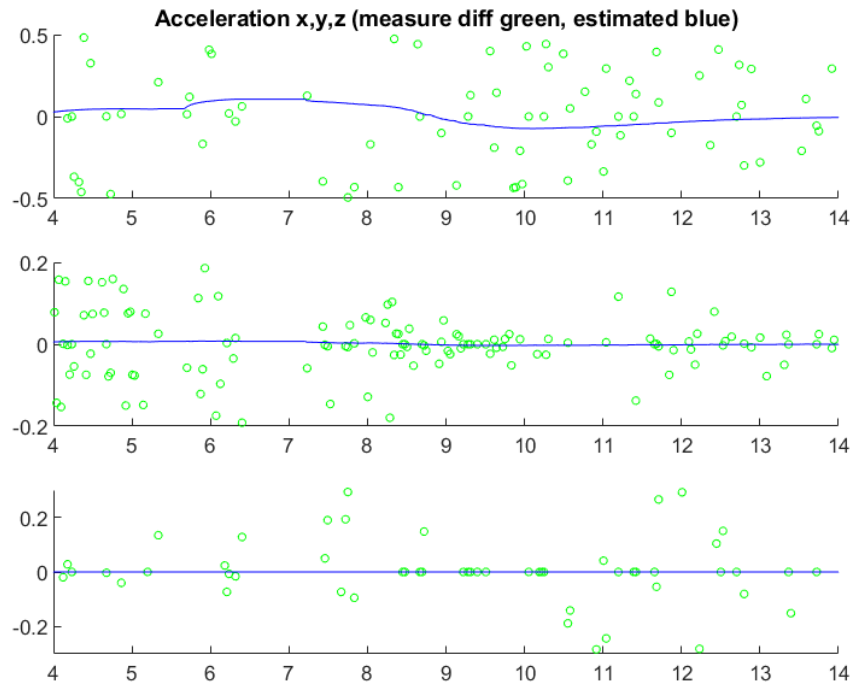
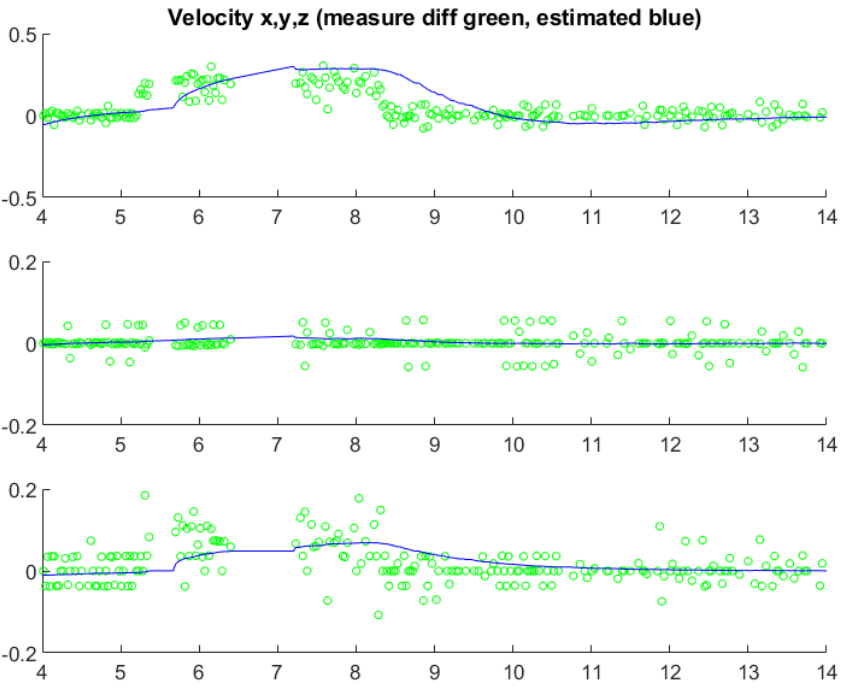
Modello del sistema

- Rumore di processo e rumore di misura sono supposti e trattati come Gaussiani ma in realtà non lo sono
 - Il rumore di processo comprende tutto ciò che rende il moto dell'oggetto non uniformemente accelerato (tra un istante e il successivo)
 - Il rumore di misura comprende gli errori di allineamento tra i frame acquisiti dai tre diversi sensori ottici e le incertezze nel processo di elaborazione della point cloud e marker detection
- Nei momenti in cui le **misure non sono disponibili** (perché il marker è oscurato o non è possibile calcolare la profondità del pixel individuato nella point-cloud) si può pensare di utilizzare unicamente il modello del sistema per fornire una stima dello stato, **senza la relativa correzione delle misure**

Risultati – Tracking posizione



Risultati – Tracking velocità accelerazione



Feedback Linearization in robotica

- ➡ Modello dinamico del manipolatore

$$M(q)\ddot{q} + C(q, \dot{q})\dot{q} + D\dot{q} + g(q) = \tau$$

- ➡ Legge di controllo linearizzante (cancellazione delle non linearità tramite feedback):

$$\tau = M(q)v + C(q, \dot{q})\dot{q} + D\dot{q} + g(q) \Rightarrow \ddot{q} = v$$

- ➡ Inseguimento di una traiettoria desiderata:

$$v = \ddot{q}_d - K_d(\dot{q} - \dot{q}_d) - K_p(q - q_d)$$

Robot manipolatore



- ➡ Franka Emika Panda Robot:
 - 7 assi (giunti motorizzati)
 - Sensori di coppia ai giunti
 - Payload massimo 3 Kg
 - Utilizzato per applicazioni in cui è richiesta destrezza e collaborazione con operatori (Human – Robot Interaction)
 - Programmazione tramite Franka – Desk o ROS (Robot Operating System)

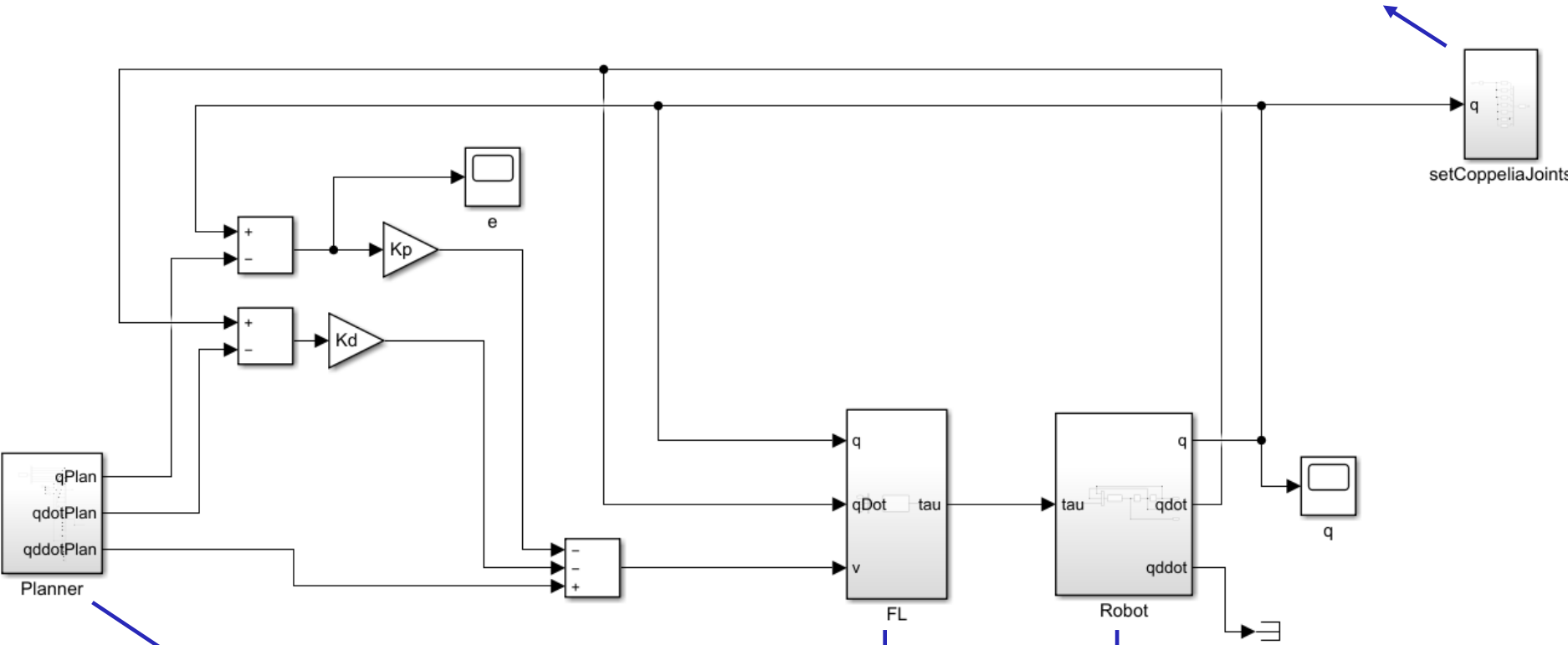
Software per la simulazione

- Robotics toolbox for **Matlab** by Peter Corke:
 - Funzionalità per l'analisi e la simulazione di robot manipolatori (cinematica, dinamica, generazione di traiettorie...)
 - Contiene modelli cinematici e dinamici di svariati robot manipolatori, tra questi il Franka Emika Panda robot
- **CoppeliaSim:**
 - Software (gratuito in versione EDU) per la simulazione di complesse scene dinamiche
 - Svariati modelli di manipolatori (tra cui il Franka Emika Panda robot)
 - Ambiente di sviluppo integrato (linguaggio LUA)
 - Possibilità di interfacciarsi con applicazioni esterne (anche Matlab)

Schema di controllo



Funzioni di interfaccia con CoppeliaSim (setting della posizione dei giunti)



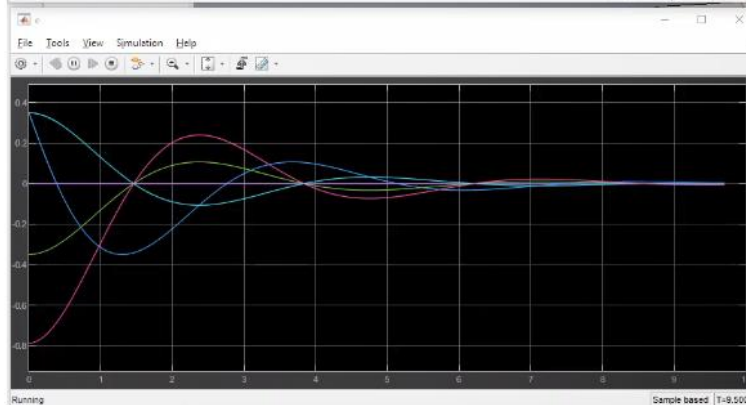
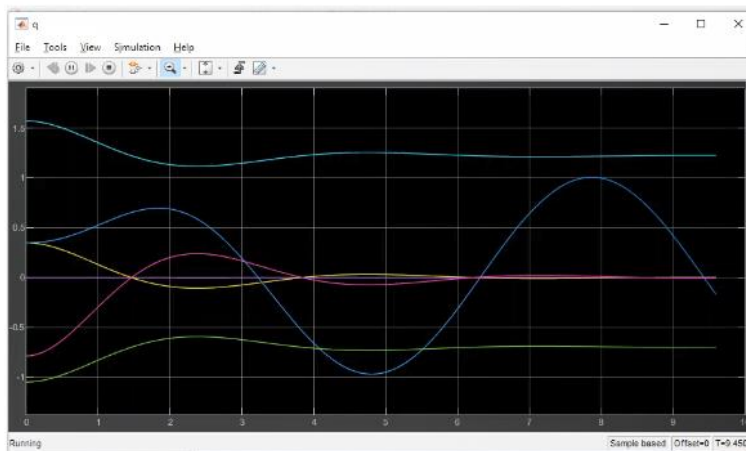
Traiettoria desiderata: giunto 2 sinusoidale, gli altri giunti costanti

Robotics Toolbox: dinamica e dinamica inversa del manipolatore

Simulazione

Scena CoppeliaSim

Simulink:
scope sulla
posizione dei
giunti



Simulink:
scope
sull'errore di
tracking

